

Генеративные модели

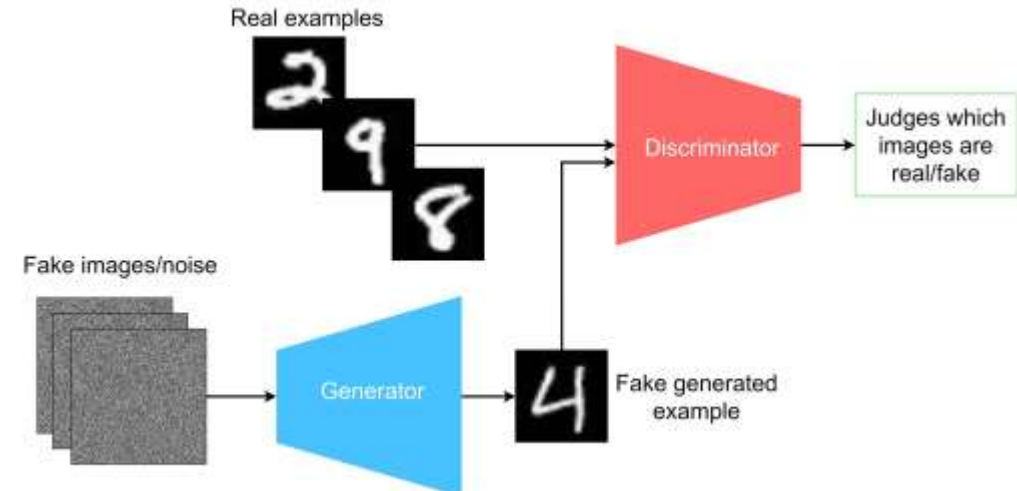
Лекция 7: *Score Matching*

Повторение

Generative Adversarial Networks

Обучение *GANs* реализуется через состязание двух нейросетей:

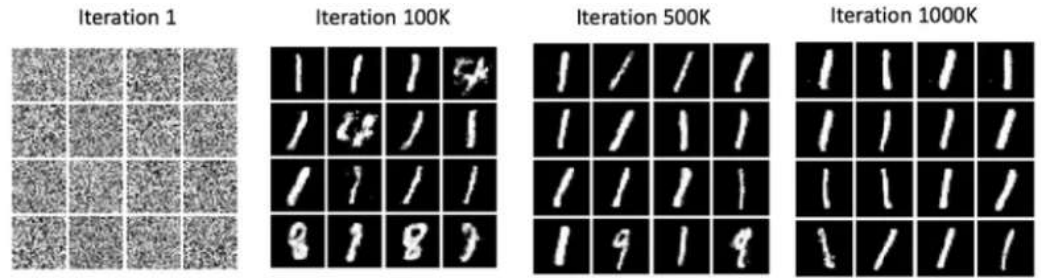
- **Генератор G :** создаёт реалистичные данные $\mathbf{x} = G(\mathbf{z})$ из вектора $\mathbf{z} \sim p(\mathbf{z})$
- **Дискриминатор D :** бинарный классификатор, который получает на вход объект \mathbf{x} и выдает вероятность $D(\mathbf{x})$, что \mathbf{x} – реальный



Mode Collapse

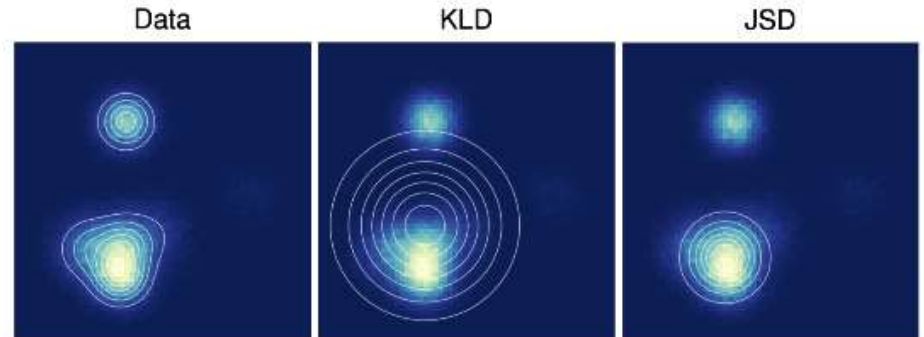
Коллапс мод (mode collapse) – главная практическая проблема *GANs*

Генератор «схлопывается» и начинает генерировать только одну или несколько мод распределения



Причина:

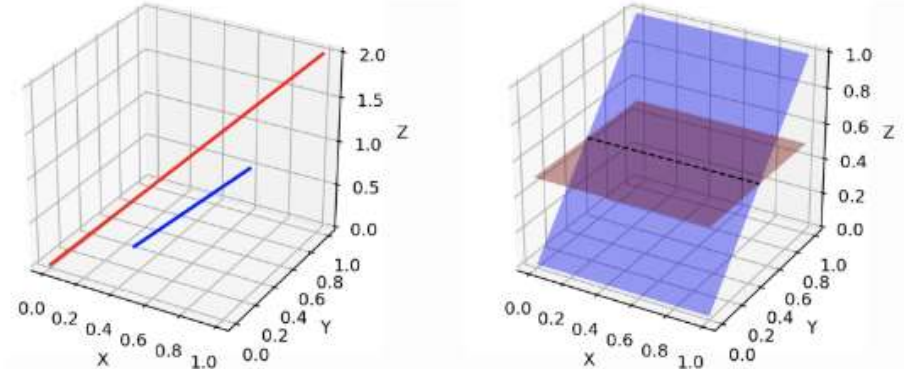
- Стандартный *GAN* минимизирует *JSD*, которая склонна к **поиску мод (mode seeking)**



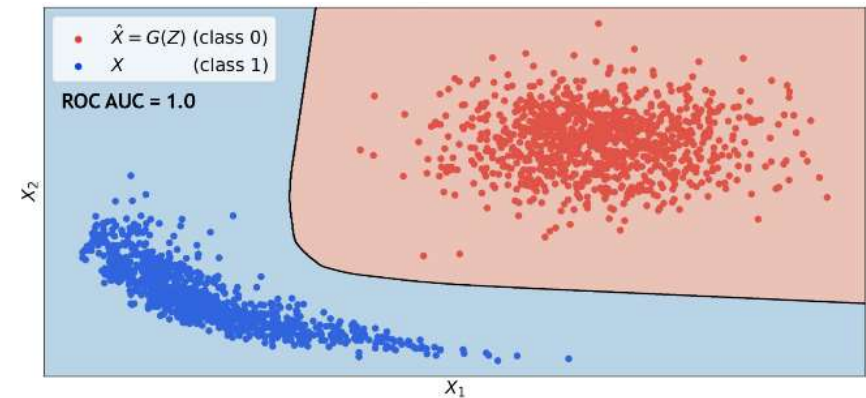
Генератору проще найти одну моду и идеально ее воспроизводить

Низкоразмерное многообразие

- В пространстве высокой размерности эти два многообразия почти гарантированно не пересекаются (*непересекающиеся носители, disjoint supports*)



- Поскольку эти многообразия не пересекаются, то дискриминатору очень легко найти разделяющую плоскость и стать идеальным классификатором



Низкоразмерное многообразие

Forward KL:

- В случае непересекающихся носителей в области, где $p_{data}(\mathbf{x}) > 0$, мы имеем $p_{\theta}(\mathbf{x}) = 0$:

$$KL(p_{data} || p_{\theta}) = \int p_{data}(\mathbf{x}) \log \frac{p_{data}(\mathbf{x})}{p_{\theta}(\mathbf{x})} d\mathbf{x} \rightarrow \infty$$

Reverse KL:

- В случае непересекающихся носителей в области, где $p_{\theta}(\mathbf{x}) > 0$, мы имеем $p_{data}(\mathbf{x}) = 0$:

$$KL(p_{\theta} || p_{data}) = \int p_{\theta}(\mathbf{x}) \log \frac{p_{\theta}(\mathbf{x})}{p_{data}(\mathbf{x})} d\mathbf{x} \rightarrow \infty$$

Низкоразмерное многообразие

Jensen – Shannon:

$$\begin{aligned} JSD(p_{data} \parallel p_{\theta}) &= \frac{1}{2} KL\left(p_{data}(\mathbf{x}) \parallel \frac{p_{data}(\mathbf{x}) + p_{\theta}(\mathbf{x})}{2}\right) + \frac{1}{2} KL\left(p_{\theta}(\mathbf{x}) \parallel \frac{p_{data}(\mathbf{x}) + p_{\theta}(\mathbf{x})}{2}\right) = \\ &\frac{1}{2} \int p_{data}(\mathbf{x}) \log \frac{p_{data}(\mathbf{x})}{p_m(\mathbf{x})} d\mathbf{x} + \frac{1}{2} \int p_{\theta}(\mathbf{x}) \log \frac{p_{\theta}(\mathbf{x})}{p_m(\mathbf{x})} d\mathbf{x} = \frac{1}{2} \int p_{data}(\mathbf{x}) \log \frac{p_{data}(\mathbf{x})}{p_{data}(\mathbf{x})/2} d\mathbf{x} + \\ &+ \frac{1}{2} \int p_{\theta}(\mathbf{x}) \log \frac{p_{\theta}(\mathbf{x})}{p_{\theta}(\mathbf{x})/2} d\mathbf{x} = \frac{1}{2} \log 2 + \frac{1}{2} \log 2 = \log 2 \end{aligned}$$

- Как только дискриминатор становится идеальным, JSD дивергенция становится константой
- Обучение останавливается, поскольку градиенты становятся равными нулю

Wasserstein GAN

Мы не можем найти идеальную f , поэтому будем аппроксимировать ее с помощью нейросети критика f_ϕ (*Critic*)

Обеспечение Липшицевости:

- Будем принудительно обрезать (*clamped*) все веса в диапазон $[-c, c]$ после каждого шага градиентного спуска
- Это гарантирует, что функция будет K –Липшицевой

Множество наших нейросетей f_ϕ – это подмножество всех K –Липшицевых функций f :

$$K \cdot W(\pi, p) = \max_{\|f\|_L \leq K} [\mathbb{E}_{\pi(x)} f(x) - \mathbb{E}_{p(x)} f(x)] \geq \max_{\phi \in \Phi} [\mathbb{E}_{\pi(x)} f_\phi(x) - \mathbb{E}_{p(x)} f_\phi(x)]$$

Wasserstain GAN

Функция потерь ***GAN***:

$$\min_{\theta} \max_{\phi} \left(\mathbb{E}_{p_{data}(\mathbf{x})} \log D_{\phi}(\mathbf{x}) + \mathbb{E}_{p(\mathbf{z})} \log (1 - D_{\phi}(G_{\theta}(\mathbf{z}))) \right)$$

Функция потерь ***WGAN***:

$$\min_{\theta} W(\pi, p) \approx \min_{\theta} \max_{\phi \in \Phi} [\mathbb{E}_{\pi(\mathbf{x})} f_{\phi}(\mathbf{x}) - \mathbb{E}_{p(\mathbf{z})} f_{\phi}(G_{\theta}(\mathbf{z}))]$$

Основные отличия:

- Дискриминатор D_{ϕ} → Критик f_{ϕ} выдает любое число (оценку)
- Параметры критика ϕ ограничены

WGAN – GP

Weight Clipping – очень плохой способ заставить критика быть K –Липшицевым

Идея ***WGAN – GP***:

Вместо того, чтобы обрезать веса ϕ , будем наказывать критика, если он нарушает 1 –Липшицево ограничение

1 –Липшицевость означает, что норма градиента критика $||\nabla f_\phi(\mathbf{x})|| \leq 1$ в любой точке

- Мы не можем проверять градиент везде
- Авторы доказали, что достаточно проверить его на случайных точках между реальными x_{data} и поддельными x_{fake} данными

WGAN – GP

Gradient Penalty:

- Создаем случайный объект с помощью интерполяции:

$$\hat{\mathbf{x}} = \epsilon \cdot \mathbf{x}_{data} + (1 - \epsilon) \cdot \mathbf{x}_{fake}$$

- Вычисляем градиент критика f_{ϕ} в этой точке $\hat{\mathbf{x}}$ и штрафуем его если $\|\nabla f_{\phi}(\hat{\mathbf{x}})\|_2 \geq 1$

Функция потерь *WGAN – GP*:

$$\mathcal{L} = \underbrace{\left[\mathbb{E}_{\pi(\mathbf{x})} f_{\phi}(\mathbf{x}) - \mathbb{E}_{p(\mathbf{z})} f_{\phi}(G_{\theta}(\mathbf{z})) \right]}_{WGAN\ Loss} + \underbrace{\lambda \cdot \mathbb{E}_{\hat{\mathbf{x}}} \left[(\|\nabla f_{\phi}(\hat{\mathbf{x}})\|_2 - 1)^2 \right]}_{Gradient\ Penalty}$$

StyleGAN

Идея:

- Возьмем за основу *PG – GAN* и научим модель делать контролируемую генерацию

Проблема:

- В обычных *GANs* латентный вектор \mathbf{z} – это черный ящик
- Хотим сделать распутанное пространство, где мы смогли бы контролировать конкретные черты изображения

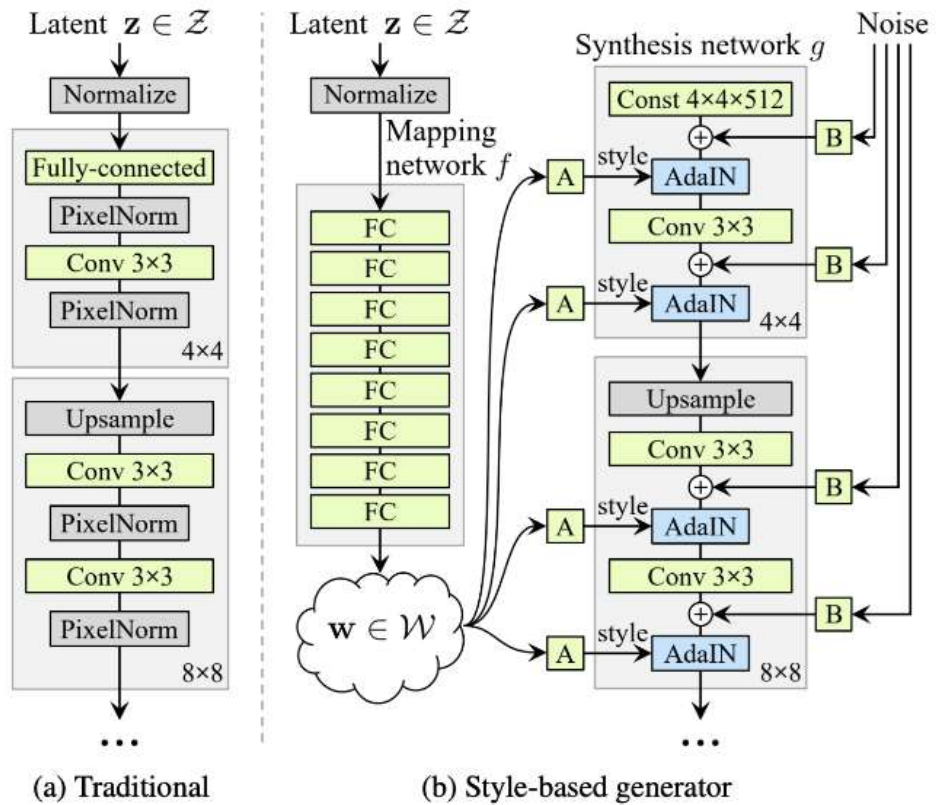
В *StyleGAN* предложили разделить черты на 3 уровня:

- ***Грубые (Coarse)*** ($4 \times 4, 8 \times 8$) – поза, форма лица
- ***Средние (Middle)*** ($16 \times 16, 32 \times 32$) – черты лица, детали прически
- ***Мелкие (Fine)*** ($64 \times 64 \rightarrow 1024 \times 1024$) – микро-детали, цвет глаз, морщины

StyleGAN

Обычный GAN:

- Латентный вектор \mathbf{z} подается на вход первому слою и проходит через всю сеть перемешиваясь



Style – based GAN:

- Генератор разделён на 2 сети
- Mapping Network** – 8 слойный MLP, который распутывает \mathbf{z} и превращает его в стилевой вектор \mathbf{w}
- Synthesis Network** – сверточная сеть, которая рисует изображение, используя \mathbf{w} как инструкцию

План

- *Energy Based Models*
- *Score Matching*
- *Denoising Score Matching*
- *Noise Conditioned Score Network*

Energy – Based Models

Проблемы генеративных моделей

Ограничения генеративных моделей сдерживают их выразительную мощность:

- **Авторегрессионные модели** требуют заданного порядка при генерации
- **Нормализующие потоки** требуют обратимые преобразования в скрытое пространство
- **Вариационные автокодировщики** более гибкие, но оптимизируют *ELBO*

Введем функцию энергии $E_{\theta}(\mathbf{x})$, которая будет принимать на вход объект \mathbf{x} и выдавать одно число — энергию

Energy – Based Models

Функция $E_\theta(\mathbf{x})$ определяет ландшафт в пространстве данных:

- Низкая энергия (впадины) – наиболее вероятные данные
- Высокая энергия (холмы) – маловероятные данные

- Будем учить нейросеть $E_\theta(\mathbf{x})$ так, чтобы впадины были там, где находятся реальные данные

EVM решает проблемы других моделей:

- $E_\theta(\mathbf{x})$ не обязана быть обратимой
- $E_\theta(\mathbf{x})$ не требует заданного порядка

Energy – Based Models

Определим плотность $p_{\theta}(\mathbf{x})$ через энергию с помощью распределения Больцмана:

$$p_{\theta}(\mathbf{x}) = \frac{e^{-E_{\theta}(\mathbf{x})}}{Z_{\theta}}$$

- $E_{\theta}(\mathbf{x})$ – ненормализованная плотность
- Z_{θ} – нормировочная константа (статистическая сумма)

Z_{θ} – это интеграл по всему пространству данных:

$$Z_{\theta} = \int e^{-E_{\theta}(\mathbf{x})} d\mathbf{x}$$

- Для сложных высокоразмерных данных мы не можем вычислить этот интеграл
- Не зная Z_{θ} , мы не сможем найти $p_{\theta}(\mathbf{x})$ и его градиент для обучения

Energy – Based Models

Найдем градиент логарифма плотности EPM :

$$\log p_{\theta}(\mathbf{x}) = \log \frac{e^{-E_{\theta}(\mathbf{x})}}{Z_{\theta}} = \log e^{-E_{\theta}(\mathbf{x})} - \log Z_{\theta} = -E_{\theta}(\mathbf{x}) - \log Z_{\theta}$$

$$\nabla_{\theta} \log p_{\theta}(\mathbf{x}) = -\nabla_{\theta} E_{\theta}(\mathbf{x}) - \nabla_{\theta} \log Z_{\theta}$$

Вспомним, что $Z_{\theta} = \int e^{-E_{\theta}(\mathbf{x})} d\mathbf{x}$:

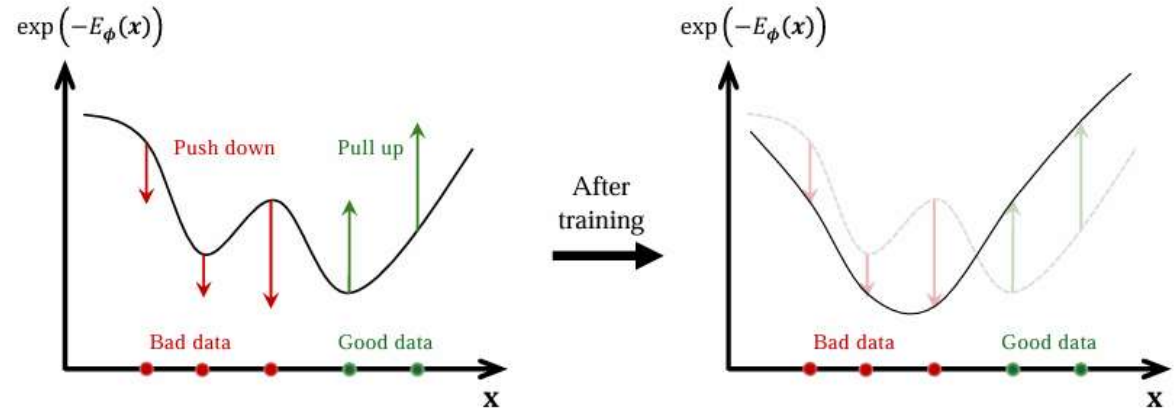
$$\begin{aligned}\nabla_{\theta} \log Z_{\theta} &= \frac{1}{Z_{\theta}} \nabla_{\theta} Z_{\theta} = \frac{1}{Z_{\theta}} \nabla_{\theta} \int e^{-E_{\theta}(\mathbf{x})} d\mathbf{x} = \frac{1}{Z_{\theta}} \int \nabla_{\theta} e^{-E_{\theta}(\mathbf{x})} d\mathbf{x} \\ &= \frac{1}{Z_{\theta}} \int e^{-E_{\theta}(\mathbf{x})} \cdot (-\nabla_{\theta} E_{\theta}(\mathbf{x})) d\mathbf{x} = \int \underbrace{\frac{e^{-E_{\theta}(\mathbf{x})}}{Z_{\theta}}}_{p_{\theta}(\mathbf{x})} \cdot (-\nabla_{\theta} E_{\theta}(\mathbf{x})) d\mathbf{x} = -\mathbb{E}_{p_{\theta}(\mathbf{x})} \nabla_{\theta} E_{\theta}(\mathbf{x})\end{aligned}$$

Energy – Based Models

В итоге мы получаем:

$$\mathcal{L}_{\theta} = -\mathbb{E}_{p_{data}(x)} \nabla_{\theta} E_{\theta}(x) + \mathbb{E}_{p_{\theta}(x)} \nabla_{\theta} E_{\theta}(x)$$

- $-\mathbb{E}_{p_{data}(x)} \nabla_{\theta} E_{\theta}(x)$ работает с реальными данными, уменьшает энергию
- $\mathbb{E}_{p_{\theta}(x)} \nabla_{\theta} E_{\theta}(x)$ увеличивает энергию



Energy – Based Models

$$\mathcal{L}_{\theta} = -\mathbb{E}_{p_{data}(\mathbf{x})} \nabla_{\theta} E_{\theta}(\mathbf{x}) + \mathbb{E}_{p_{\theta}(\mathbf{x})} \nabla_{\theta} E_{\theta}(\mathbf{x})$$

- Нам нужно уметь оценивать $\mathbb{E}_{p_{\theta}(\mathbf{x})} [\dots]$
- Будем оценивать этот член с помощью метода Монте-Карло (**Markov Chain Monte Carlo, MCMC**)

Введем понятие *функции оценки (score function)*:

$$s_{\theta}(\mathbf{x}) = \nabla_{\mathbf{x}} \log p_{\theta}(\mathbf{x})$$

Найдем *score function* для *EBM*:

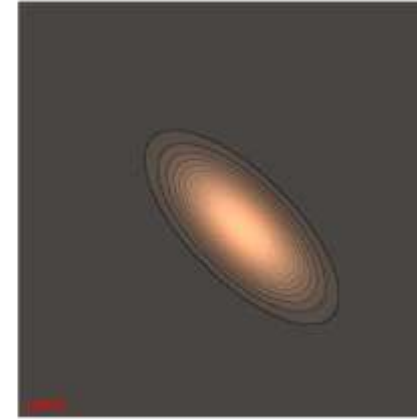
$$s_{\theta}(\mathbf{x}) = \nabla_{\mathbf{x}} \log \frac{e^{-E_{\theta}(\mathbf{x})}}{Z_{\theta}} = \nabla_{\mathbf{x}} \log e^{-E_{\theta}(\mathbf{x})} - \nabla_{\mathbf{x}} \log Z_{\theta} = -\nabla_{\mathbf{x}} E_{\theta}(\mathbf{x})$$

Langevin Dynamics

Для сэмплирования из $p_\theta(\mathbf{x})$ будем использовать **динамику Ланжевена (Langevin Dynamics)**:

$$\mathbf{x}_{t+1} = \mathbf{x}_t + \frac{\eta}{2} \nabla_{\mathbf{x}} \log p_\theta(\mathbf{x}_t) + \sqrt{\eta} \boldsymbol{\epsilon}_t = \mathbf{x}_t + \frac{\eta}{2} s_\theta(\mathbf{x}_t) + \sqrt{\eta} \boldsymbol{\epsilon}_t$$

- \mathbf{x}_t – текущая точка
- η – размер шага
- $\boldsymbol{\epsilon}_t \sim \mathcal{N}(\mathbf{0}, \mathbf{I})$ – шум



- Член $\frac{\eta}{2} \nabla_{\mathbf{x}} \log p_\theta(\mathbf{x}_t)$ – это градиентный подъем, который толкает нашу точку \mathbf{x} в направлении наибольшего возрастания плотности
- Член $\sqrt{\eta} \boldsymbol{\epsilon}_t$ добавляет случайности и не дает нашей точке \mathbf{x} застрять в локальном максимуме

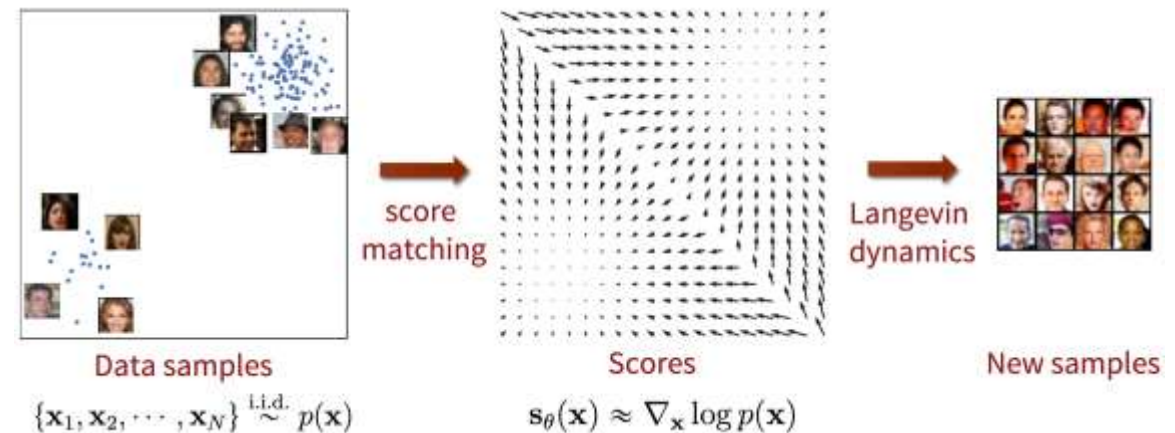
Score Matching

Проблемы *MCMC*

- Обучение с использованием *MCMC* обычно очень медленное, не стабильное и даёт смещенные градиенты

Идея:

- Попробуем обучать *score function* $s_\theta(\mathbf{x})$ напрямую



Score Matching

Факт:

- Если *score*-функции двух распределений $q(x)$ и $p(x)$ равны, то и сами распределения равны (с точностью до константы)

Дано: $\nabla_{\mathbf{x}} \log p(\mathbf{x}) = \nabla_{\mathbf{x}} \log q(\mathbf{x})$

Доказательство:

Проинтегрируем обе части выражения:

$$\log p(\mathbf{x}) = \log q(\mathbf{x}) + C$$

$$p(\mathbf{x}) = e^C \cdot e^{\log q(\mathbf{x})} = K \cdot q(\mathbf{x})$$

Score Matching

Цель *score matching* (*Hyvärinen, 2005*) заключается в минимизации дивергенции Фишера:

$$\begin{aligned} D_F(p_{data}(\mathbf{x}) || p_{\theta}(\mathbf{x})) &= \mathbb{E}_{p_{data}(\mathbf{x})} \left[\frac{1}{2} \|\nabla_{\mathbf{x}} \log p_{\theta}(\mathbf{x}) - \nabla_{\mathbf{x}} \log p_{data}(\mathbf{x})\|^2 \right] \\ &= \frac{1}{2} \int p_{data}(\mathbf{x}) \|\nabla_{\mathbf{x}} \log p_{\theta}(\mathbf{x}) - \nabla_{\mathbf{x}} \log p_{data}(\mathbf{x})\|^2 \end{aligned}$$

- Минимизируя эту функцию потерь, мы заставляем *score*-функцию модели $s_{\theta}(\mathbf{x})$ соответствовать *score*-функции реальных данных $s_{data}(\mathbf{x})$
- Если $s_{\theta}(\mathbf{x}) \approx s_{data}(\mathbf{x})$, то $p_{\theta}(\mathbf{x}) \approx p_{data}(\mathbf{x})$

Мы не знаем *score*-функцию реальных данных $s_{data}(\mathbf{x})$

Score Matching

Hyvärinen показал, что при определенных условиях регулярности функция потерь может быть переписана в виде:

$$D_F(p_{data}(\mathbf{x}) || p_{\theta}(\mathbf{x})) = \mathbb{E}_{p_{data}(\mathbf{x})} \left[\frac{1}{2} \|s_{\theta}(\mathbf{x}) - s_{data}(\mathbf{x})\|^2 \right] = \mathbb{E}_{p_{data}(\mathbf{x})} \left[\frac{1}{2} \|s_{\theta}(\mathbf{x})\|^2 + \text{tr}(\nabla_{\mathbf{x}} s_{\theta}(\mathbf{x})) \right]$$

- $\text{tr}(\nabla_{\mathbf{x}} s_{\theta}(\mathbf{x}))$ – след матрицы Якоби функции $s_{\theta}(\mathbf{x})$

Доказательство (1D):

$$\mathbb{E}_{p_{data}(x)} \left[\frac{1}{2} \|s_{\theta}(x) - s_{data}(x)\|^2 \right] = \mathbb{E}_{p_{data}(x)} \left[\frac{1}{2} s_{\theta}(x)^2 + \frac{1}{2} s_{data}(x)^2 - s_{\theta}(x) \cdot s_{data}(x) \right]$$

$\frac{1}{2} s_{data}(x)^2 = \text{const}$ относительно параметров θ

Score Matching

Преобразуем удвоенное произведение:

$$\begin{aligned}\mathbb{E}_{p_{data}(\mathbf{x})}[s_{\boldsymbol{\theta}}(x) \cdot s_{data}(x)] &= \int p_{data}(x) \cdot s_{\boldsymbol{\theta}}(x) \cdot \nabla_x \log p_{data}(x) dx = \\ &= \int p_{data}(x) \cdot s_{\boldsymbol{\theta}}(x) \cdot \frac{1}{p_{data}(x)} \cdot \nabla_x p_{data}(x) dx = \int s_{\boldsymbol{\theta}}(x) \cdot \nabla_x p_{data}(x) dx = \\ &= s_{\boldsymbol{\theta}}(x) \cdot p_{data}(x) \Big|_{-\infty}^{\infty} - \int \nabla_x s_{\boldsymbol{\theta}}(x) \cdot p_{data}(x) dx = - \int \nabla_x s_{\boldsymbol{\theta}}(x) \cdot p_{data}(x) dx = \\ &= \mathbb{E}_{p_{data}(\mathbf{x})} [\nabla_x s_{\boldsymbol{\theta}}(x)]\end{aligned}$$

- $s_{\boldsymbol{\theta}}(x) \cdot p_{data}(x) \Big|_{-\infty}^{\infty} \rightarrow 0$

Score Matching

Мы показали:

$$D_F(p_{data}(x) || p_{\theta}(x)) = \mathbb{E}_{p_{data}(x)} \left[\frac{1}{2} s_{\theta}(x)^2 + \nabla_x s_{\theta}(x) \right] + C$$

В многомерном случае:

- $s_{\theta}(x)^2 = (\nabla_{\mathbf{x}} \log p_{\theta}(\mathbf{x}))^2 \rightarrow \left| \left| \nabla_{\mathbf{x}} \log p_{\theta}(\mathbf{x}) \right| \right|^2$
- $\nabla_x s_{\theta}(x) = \nabla_{\mathbf{x}}^2 \log p_{\theta}(\mathbf{x}) \rightarrow \text{tr}(\nabla_{\mathbf{x}}^2 \log p_{\theta}(\mathbf{x}))$

В итоге:

$$D_F(p_{data}(\mathbf{x}) || p_{\theta}(\mathbf{x})) = \mathbb{E}_{p_{data}(\mathbf{x})} \left[\frac{1}{2} \|s_{\theta}(\mathbf{x})\|^2 + \text{tr}(\nabla_{\mathbf{x}} s_{\theta}(\mathbf{x})) \right]$$

Подход, использующий такую функцию потерь был назван ***Implicit Score Matching***, поскольку избегает вычисления истинной *score*-функции $s_{data}(\mathbf{x})$

Denoising Score Matching

Проблемы *Score Matching*

- Классический **score – matching** требует, чтобы $p_{data}(\mathbf{x})$ была гладкой и непрерывно дифференцируемой
- Реальные данные часто могут быть дискретны (изображения 0 – 255)
- Для таких данных $\log p_{data}(\mathbf{x})$ является разрывной функцией

Идея:

Добавим небольшой шум к нашим данным:

$$\mathbf{x}_\sigma = \mathbf{x} + \sigma \cdot \boldsymbol{\epsilon}, \quad \boldsymbol{\epsilon} \sim \mathcal{N}(\mathbf{0}, \mathbf{I})$$

Процесс добавления шума описывается условной вероятностью:

$$q(\mathbf{x}_\sigma | \mathbf{x}) = \mathcal{N}(\mathbf{x}_\sigma | \mathbf{x}, \sigma^2 \cdot \mathbf{I})$$

Denoising Score Matching

Мы получили новое гладкое распределение, к которому можно применять **score – matching**:

$$q(\mathbf{x}_\sigma) = \int q(\mathbf{x}_\sigma | \mathbf{x}) \cdot p_{data}(\mathbf{x}) d\mathbf{x}$$

Будем минимизировать дивергенцию Фишера между *score*-функцией модели $s_\theta(\mathbf{x})$ и *score*-функцией зашумленных данных $q(\mathbf{x}_\sigma)$:

$$\frac{1}{2} \mathbb{E}_{q(\mathbf{x}_\sigma)} \left[\| s_\theta(\mathbf{x}_\sigma) - \nabla_{\mathbf{x}_\sigma} \log q(\mathbf{x}_\sigma) \|_2^2 \right] \rightarrow \min_{\theta}$$

Проблема:

Мы по-прежнему не знаем $\nabla_{\mathbf{x}_\sigma} \log q(\mathbf{x}_\sigma)$, так как $q(\mathbf{x}_\sigma)$ зависит от $p_{data}(\mathbf{x})$:

Теорема *Denoising Score Matching*

Vincent (2010) показал, что минимизация дивергенции Фишера эквивалентна минимизации новой функции потерь:

$$\mathbb{E}_{q(\mathbf{x}_\sigma)} \left[\left\| s_\theta(\mathbf{x}_\sigma) - \nabla_{\mathbf{x}_\sigma} \log q(\mathbf{x}_\sigma) \right\|_2^2 \right] = \mathbb{E}_{p_{data}(\mathbf{x})} \mathbb{E}_{q(\mathbf{x}_\sigma|\mathbf{x})} \left[\left\| s_\theta(\mathbf{x}_\sigma) - \nabla_{\mathbf{x}_\sigma} \log q(\mathbf{x}_\sigma|\mathbf{x}) \right\|^2 \right] + const$$

Доказательство:

$$\mathbb{E}_{q(\mathbf{x}_\sigma)} \left[\left\| s_\theta(\mathbf{x}_\sigma) - \nabla_{\mathbf{x}_\sigma} \log q(\mathbf{x}_\sigma) \right\|_2^2 \right] = \mathbb{E}_{q(\mathbf{x}_\sigma)} [\|s_\theta(\mathbf{x}_\sigma)\|^2 - 2s_\theta(\mathbf{x}_\sigma)^T \cdot \nabla_{\mathbf{x}_\sigma} \log q(\mathbf{x}_\sigma) + \|\nabla_{\mathbf{x}_\sigma} \log q(\mathbf{x}_\sigma)\|^2]$$

$\nabla_{\mathbf{x}_\sigma} \log q(\mathbf{x}_\sigma) = const$ относительно параметров θ

Denoising Score Matching

Мы сами задаем $q(\mathbf{x}_\sigma | \mathbf{x})$:

$$q(\mathbf{x}_\sigma | \mathbf{x}) = \mathcal{N}(\mathbf{x}_\sigma | \mathbf{x}, \sigma^2 \mathbf{I})$$

В этом случае *score*-функция вычисляется аналитически:

$$\nabla_{\mathbf{x}_\sigma} \log q(\mathbf{x}_\sigma | \mathbf{x}) = \nabla_{\mathbf{x}_\sigma} \left(-\frac{\|\mathbf{x}_\sigma - \mathbf{x}\|^2}{2\sigma^2} \right) = -\frac{\mathbf{x}_\sigma - \mathbf{x}}{\sigma^2} = -\frac{\epsilon}{\sigma}$$

Подставим в нашу функцию потерь:

$$\frac{1}{2} \mathbb{E}_{p_{data}(\mathbf{x})} \mathbb{E}_{q(\mathbf{x}_\sigma | \mathbf{x})} \left[\left\| s_\theta(\mathbf{x}_\sigma) - \nabla_{\mathbf{x}_\sigma} \log q(\mathbf{x}_\sigma | \mathbf{x}) \right\|^2 \right] = \frac{1}{2} \mathbb{E}_{p_{data}(\mathbf{x})} \mathbb{E}_{\mathcal{N}(\mathbf{0}, \mathbf{I})} \left[\left\| s_\theta(\mathbf{x} + \sigma\epsilon) + \frac{\epsilon}{\sigma} \right\|^2 \right] \rightarrow \min_\theta$$

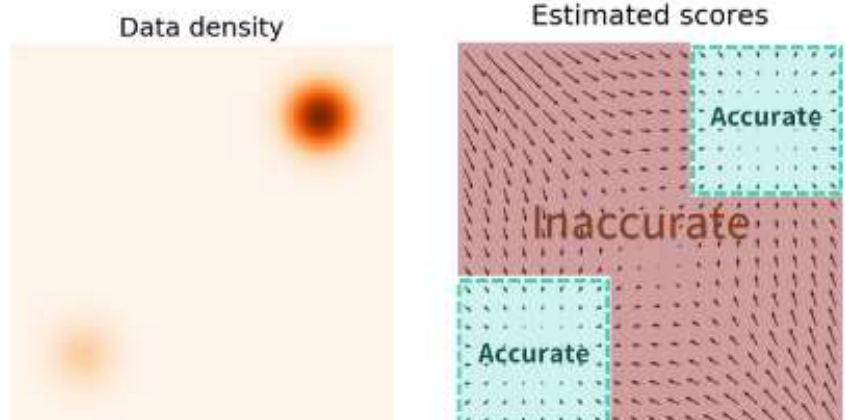
- Нейросеть $s_\theta(\mathbf{x}_\sigma)$ учится напрямую предсказывать шум ϵ , который был добавлен к \mathbf{x}

Noise Conditioned Score Network

Проблема *Denoising Score Matching*

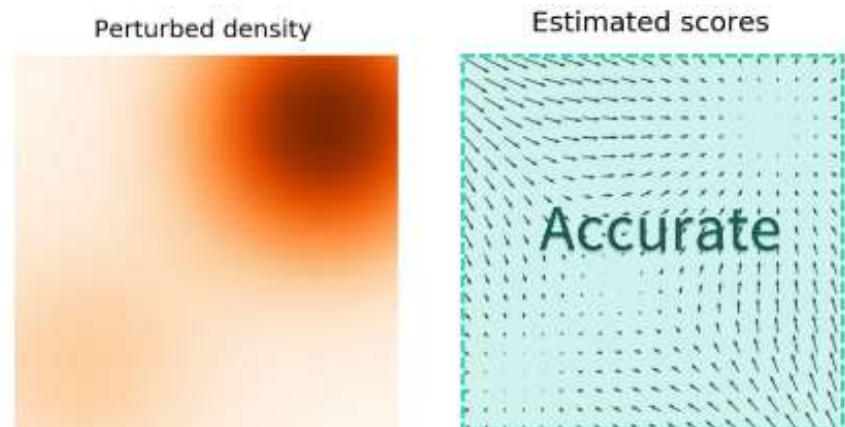
Если σ маленький:

- $q(\mathbf{x}_\sigma) \approx p_{data}(\mathbf{x})$
- Функция потерь *DSM* содержит члены $\frac{1}{\sigma}$ и $\frac{1}{\sigma^2}$, что приводит к высокой дисперсии градиентов
- Обучение нестабильно, динамика Ланжевена застревает в модах



Если σ большой:

- Функция потерь *DSM* с низкой дисперсией градиентов
- $q(\mathbf{x}_\sigma) \neq p_{data}(\mathbf{x})$ – сильно размытое распределение
- Модель хорошо работает в областях с низкой плотностью, но изучает искаженное распределение

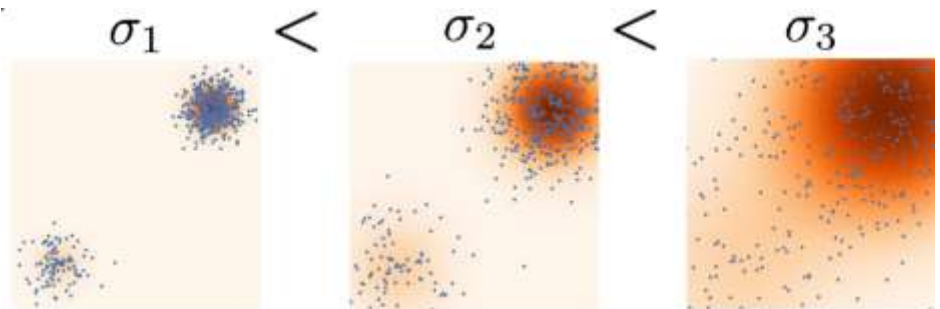


Noise Conditioned Score Network

Идея:

Будем одновременно использовать несколько уровней шума

- Определим последовательность уровней шума
 $\sigma_1 < \sigma_2 < \dots < \sigma_T$:
- σ_1 – небольшой шум, $q(\mathbf{x}_1) \approx p_{data}(\mathbf{x})$
- σ_T – большой шум, $q(\mathbf{x}_T) \approx \mathcal{N}(0, \sigma_T^2 \mathbf{I})$
- Каждому σ_t будет соответствовать свое распределение $q(\mathbf{x}_t)$



Обучение NCSN

Будем обучать $s_{\theta, \sigma_t}(\mathbf{x}_t)$ на каждом уровне шума, используя взвешенную функцию потерь DSM :

$$\mathcal{L}_{\theta} = \sum_{t=1}^T \lambda(\sigma_t) \cdot \mathbb{E}_{p_{data}(\mathbf{x})} \mathbb{E}_{q(\mathbf{x}_t|\mathbf{x})} \left[\left| \left| s_{\theta, \sigma_t}(\mathbf{x}_t) - \nabla_{\mathbf{x}_t} \log q(\mathbf{x}_t|\mathbf{x}) \right| \right|^2 \right],$$

где $\nabla_{\mathbf{x}_t} \log q(\mathbf{x}_t|\mathbf{x}) = -\frac{\epsilon}{\sigma_t}$

Обычно веса $\lambda(\sigma_t)$ берут в виде σ_t^2 , чтобы сбалансировать члены с $\frac{1}{\sigma_t^2}$

$$\mathcal{L}_{\theta} = \sum_{t=1}^T \sigma_t^2 \cdot \mathbb{E}_{p_{data}(\mathbf{x})} \mathbb{E}_{q(\mathbf{x}_t|\mathbf{x})} \left[\left| \left| s_{\theta, \sigma_t}(\mathbf{x}_t) - \nabla_{\mathbf{x}_t} \log q(\mathbf{x}_t|\mathbf{x}) \right| \right|^2 \right]$$

Обучение NCSN

Алгоритм обучения:

- Берем сэмпл $\mathbf{x}_0 \sim p_{data}(\mathbf{x})$
- Случайно выбираем уровень шума $t \sim U(1, T)$
- Сэмплируем шум $\epsilon \sim \mathcal{N}(0, \mathbf{I})$
- Создаем зашумленный сэмпл $\mathbf{x}_t = \mathbf{x}_0 + \sigma_t \cdot \epsilon$
- Вычисляем лосс $\mathcal{L}_{\theta, t} = \sigma_t^2 \left\| s_{\theta, \sigma_t}(\mathbf{x}_t) + \frac{\epsilon}{\sigma_t} \right\|^2$

Annealed Langevin Dynamics

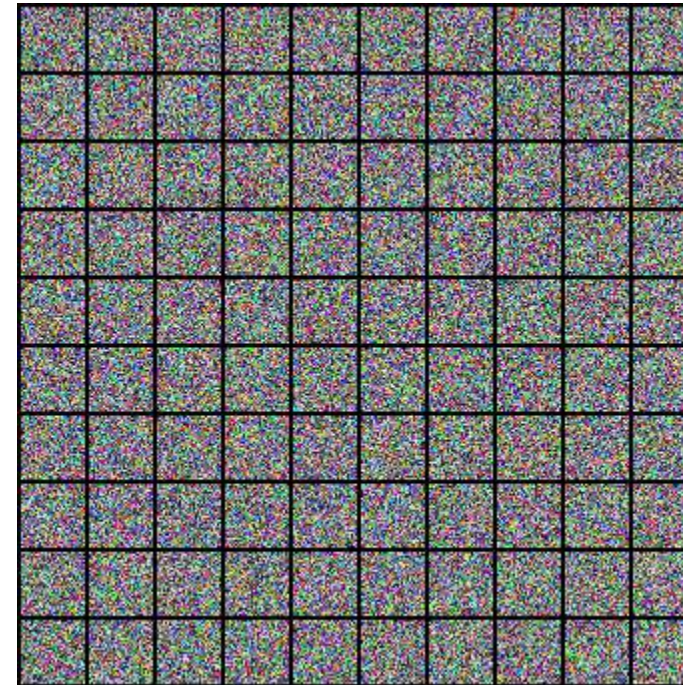
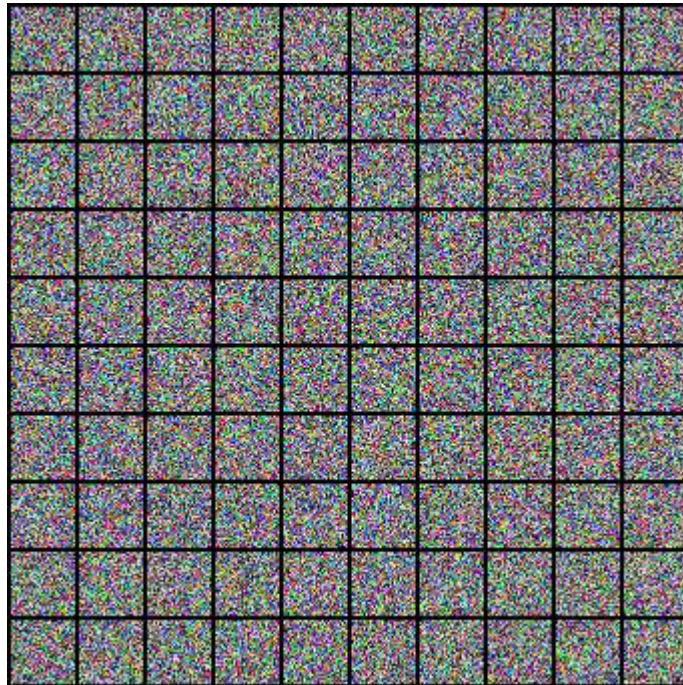
Для сэмплирования из модели используют **динамику Ланжевена с отжигом** (*Annealed Langevin Dynamics*):

- Начинаем с шума $\mathbf{x}_T \sim \mathcal{N}(0, \sigma_T^2 \mathbf{I})$
- Для текущего шума σ_t применяем L шагов динамики Ланжевена:

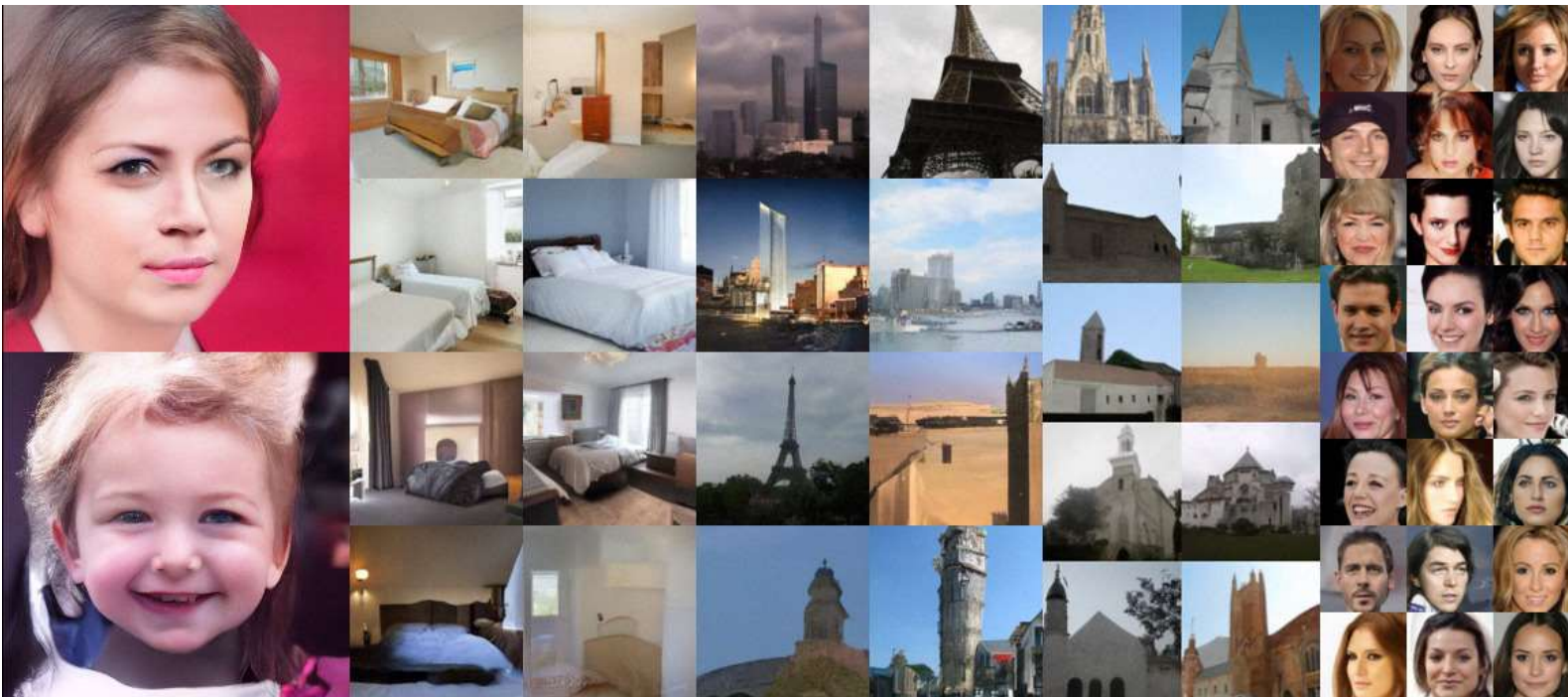
$$\mathbf{x}_l = \mathbf{x}_{l-1} + \frac{\eta}{2} s_{\theta, \sigma_t}(\mathbf{x}_{l-1}) + \sqrt{\eta_t} \boldsymbol{\epsilon}_l$$

- После L шагов выход \mathbf{x}_L становится инициализацией \mathbf{x}_{t-1} для следующего уровня шума σ_{t-1}

Annealed Langevin Dynamics for NCSN



NCSN Samples



Спасибо за внимание!